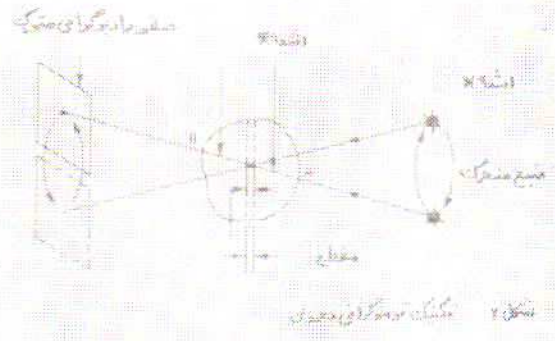


شکل ۴- شمای دستگاه EMI.



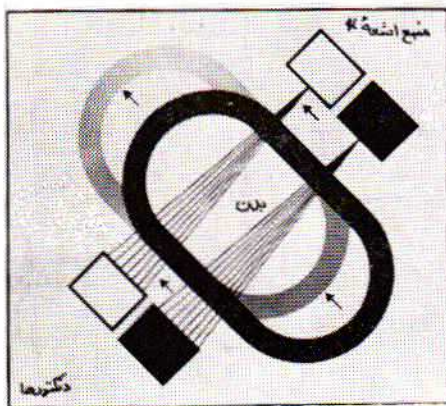
شکل ۲- روش توموگرافی معمولی.

پلایر (Photomultiplier Tube) تبدیل به نشانه‌های الکتریکی و تقویت می‌گردد (شکل ۴). اشعه ایکس از یک لوله کولیماتور کوچک بصورت یک پرتو خیلی باریک به سر بیمار می‌تابد و از آن عبور میکند. قطر لایه‌ای از سر بیمار که در مسیر اشعه قرار می‌گیرد معمولاً ۱۳ میلیمتر می‌باشد. منبع اشعه ایکس در یک طرف و دکتورها در طرف مقابل آن در روی یک دستگاه و در اطراف سر بیمار قرار می‌گیرد بطوریکه بعد از اینکه اشعه ایکس از سر بیمار عبور کرد بوسیله دکتورها دریافت میشود. دکتورها دو ردیف می‌باشند که رویهم قرار گرفته‌اند بطوریکه در یک زمان دو قطع عرضی مجاور هم هر کدام به ضخامت ۱۳ میلیمتر مورد بررسی و ضبط قرار می‌گیرند (شکل ۹). یک دکتور سوم نیز وجود دارد که شدت اشعه اولیه را بی‌آنکه از مغز عبور کند اندازه می‌گیرد (Reference Detector). لوله اشعه ایکس و دکتورها در مقابل هم در دو طرف سر بیمار قرار دارند و از یک طرف بطرف دیگر در اطراف سر بیمار حرکت میکنند (شکل ۵). هر دکتور ۱۶۰ دفعه شدت اشعه ایکس را در بافت مغز می‌خواند. سپس دستگاه (Gantry) یک‌درجه می‌گردد و دوباره این حرکات تکرار میشود. (شکل ۶).

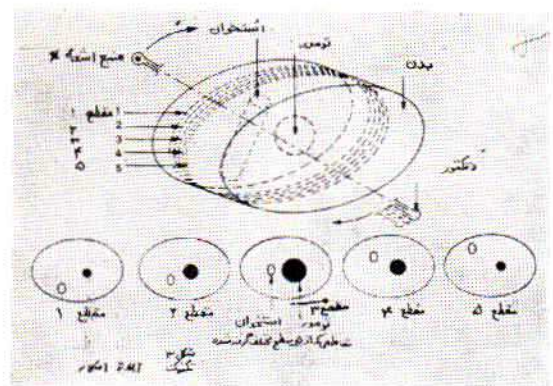
راديو لوژیائی در نشان دادن ضایعات مغز که تاکنون از آن استفاده شده است از قبیل آرتریوگرافی سرخرگ کاروتید ، پنومو- آنسفالوگرافی و سنتیگرافی مغز دارای مخاطراتی میباشد و ضمناً احتیاج به بستری شدن بیمار در بیمارستان دارد و همچنین از وجود گروه مجهز باید استفاده کرد. چنین اشکالاتی در روش توموگرافی کامپیوتری وجود ندارد.

در توموگرافی کامپیوتری تصاویری از لایه‌های مجاور یک عضو پرتیبی که در شکل شماره ۳ نشان داده شده است، به دست می‌آید. اشعه ایکس که بوسیله کولیماتور خیلی دقیق محدود شده است مقاطع عرضی مغز را بررسی و ضبط میکند. مقداری از فوتون‌های اشعه ایکس بوسیله بافت‌های مختلف و بقیه فوتونها پس از عبور از مغز بوسیله بلورهای یدورسیدیم (Sodium Iodide) و یا جدیداً بلورهای زنون (Xenon Gas) جذب و پس از تقویت بوسیله دستگاه‌های تقویت کننده اندازه گیری میشود (۷۰۸).

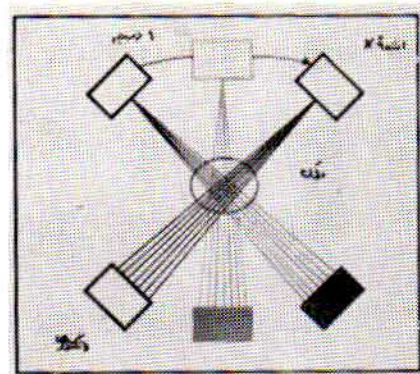
بلورهای یدورسیدیم در اثر برخورد فوتونها بارتعاش درمی‌آید (Scintillation) و انرژی نورانی ایجاد شده بوسیله فوتومولتی



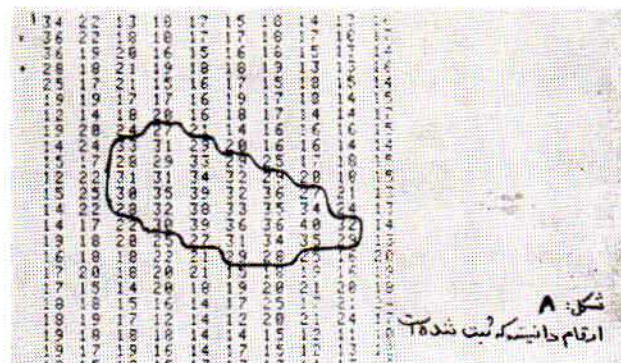
شکل ۵- طرز حرکت لوله اشعه X و دکتورها در اطراف سر بیمار.



شکل ۳- روش توموگرافی کامپیوتری (Computed tomography Scan)



شکل ۶- درجات چرخش در اطراف سر بیمار یا بدن .



شکل ۸- ارقام تراکم که ثبت شده است (Line Printer). در اینجا ارقام وسط ناحیه ای که مشخص شده، مربوط به تومور میباشد که بالاتر از بافت مغز طبیعی اطراف آن است.

شکل ۸- ارقام تراکم که ثبت شده است (Line Printer). در اینجا ارقام وسط ناحیه ای که مشخص شده، مربوط به تومور میباشد که بالاتر از بافت مغز طبیعی اطراف آن است.

این حرکات عرضی در اطراف سر بیمار بزوایای یک درجه تا ۱۸۰ درجه ادامه پیدا میکند و در حدود ۴/۵ دقیقه طول میکشد (در نمونه های جدید این مدت را به ۵ ثانیه نیز رسانده اند). در طی این حرکات هر دکتور  $28800 = (160 \times 180)$  دفعه شدت اشعه را در بافتها می خواند و ضبط می کند و همانطوریکه گفته شد دولایه مجاور باین ترتیب مورد آزمایش قرار میگیرند. اطلاعاتی را که دکتور به هنگام اسکن بدست می آورد بطور مداوم بیک کامپیوتر کوچک میدهد. این کامپیوتر فوراً اطلاعات کسب شده را محاسبه می کند باین معنی که  $25600 = (160 \times 160)$  ارزش جذبی بافت (Absorption Coefficient) که در هر لایه قرار دارد، اندازه گیری میشود. سپس این اطلاعات در یک دیسک ذخیره میگردد. این ارزشهای جذبی سپس بر رویهم تصویر انتهائی را از یک لایه مورد نظر بما میدهند که بصورت  $25600 = (160 \times 160)$  نقطه عکسبرداری شده، میباشد. هر نقطه عکسبرداری معرف ارزش جذبی حجمی از بافت معادل ۱/۵ میلیمتر در ۱/۵ میلیمتر ضرب در ضخامت لایه میباشد. بنابراین پس از اتمام اسکن کامل مجموعه که اغلب ۳ مقطع یک جفتی و بعضی موارد ۵ مقطع میباشد، متجاوز از یک ربع میلیون از مغز عکسبرداری میشود.

این اطلاعات که بصورت (Cell Matrix) مجموعه سلولی میباشد در روی یک صفحه تلویزیون (Cathod Ray Tube) نمایش داده میشود.

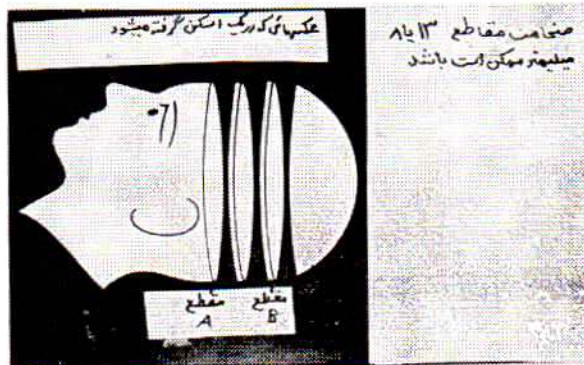
البته ممکن است این ارزشهای جذبی را بصورت اعداد روی یک صفحه کاغذ نیز ضبط نمود (Line Printer). (شکل ۸)

مقداری که دستگاه میتواند اندازه گیری کند بطور طرح (شما تیک) در شکل ۷ نشان داده شده است. این جدول دامنه ارزش جذبی بافتها مختلف را که معمولاً در رادیوگرافی با آن روبرو هستیم نشان میدهد. البته این ارزشها قراردادی میباشدند، بدین معنی که برای آب ارزش جذبی صفر و برای استخوان  $+1000$  و برای هوا  $-1000$  را انتخاب میکند.

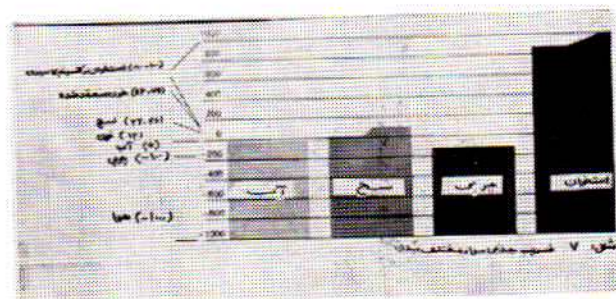
بنابراین مراتب فوق تصویر مغز بوسیله اندازه گیری مقدار اشعه ای که بوسیله هر یک از سلولها (Cell Matrix) جذب میشود، بدست می آید.

انواع مقاطع :

برای ساختمانهای بالای چادر مخچه (Supra-Tentorial) یک سری اسکن سه تایی (۲ و ۱) گرفته میشود که بترتیب ۳، ۵/۵ و ۸ سانتیمتر بالای خط بازال یا اوربیتوما تال قرار دارند این سه اسکن شامل ۶ مقطع هر یک به ضخامت ۱۳ میلیمتر میباشد (۳ زوج).



شکل ۹- در یک اسکن دو مقطع گرفته میشود که شامل مقطع A و مقطع B میباشد. یک اسکن کامل مغز شامل ۳ یا ۴ اسکن است.



شکل ۷- جدول ضریب جذبی (Absorption Values) مواد مختلف بدن.

فروتال و قسمتی از سیستم اینسولا (Insular Cistern) در دو طرف سیستم سوپراسلار - تنه مغز و قسمتی از بطن چهارم و ورمیس مخچه دیده میشود. لوب گیجگاهی «تامپورال» در دو طرف نیز دیده میشود. (شکل ۱۱ ۱B).

در مقطع ۲A: شاخ فروتال بطن‌های جانبی سیستم اینسولای دو طرف و بطن سوم در خط وسط بصورت یک شیار باریک دیده میشود. سیستم کوادری ژمینال و سیستم آمینس در طرفین آن و در قسمت خلفی بخشی از لوب پشت‌سری نیمکره‌های مغز نمایان میگردد (شکل ۱۱ ۲A). البته محل تشریحی بسیاری از قسمتهای دیگر مغز را نیز در این مقطع میتوان دید.

در مقطع ۲B شاخ پیشانی و کمی از شاخ جانبی بطن‌های طرفی و سپتوم پلوسیدم در وسط و تلاموس و بطن سوم و غده پینئال که همیشه بصورت یک نقطه سفید (بعات کلسیفیکاسیون) در خط وسط دیده میشود و تریگون بطن‌ها و لوب پشت‌سری در عقب و لوب‌های پاریتال در دو طرف دیده میشوند. (شکل ۱۱ ۲B).

در مقطع ۳A کمی از سیسور بین نیمکره‌ای در قسمت قدامی و بطن‌های طرفی و شاخ پشت‌سری آنها دیده میشوند. (شکل ۱۱ ۳A).

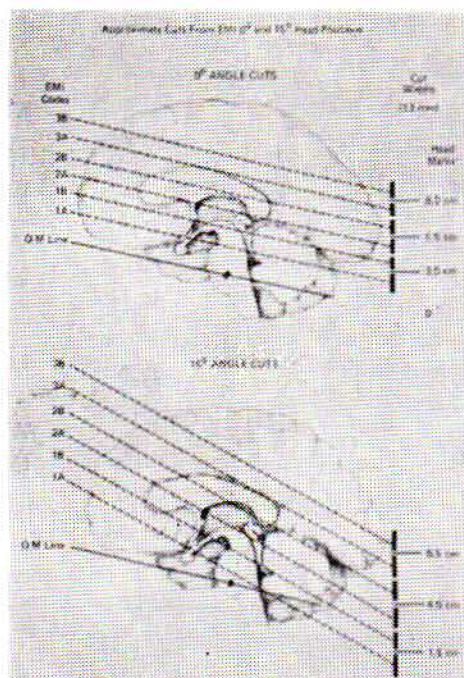
در مقطع 3B تمام سیسور بین نیمکره‌ای پیشانی بافت خاکستری مغز و شیارهای کورتکس مغزی و داس مغز در وسط دیده میشود. (شکل ۱۱ ۳B).

در بعضی موارد لازم است یک مقطع دیگری (4A و 4B) از قسمت کاملاً فوقانی جمجمه گرفته شود تا ضایعات سقف جمجمه (Vertex) کاملاً نمایان گردد.

#### موارد استعمال بالینی

در نورولوژی ضایعات شایعی که احتیاج به بررسی دارند در یکی از گروه‌های نئوپلازی‌ها، همتوما، انفارکتوسها و عوارض عفونی قرار میگیرند. البته خیز مغز که اکثراً با این ضایعات همراه است و باعث تغییر وضع بالینی بیمار میگردد نیز باید بررسی شود.

در تفسیر عکسهای تهیه شده بطریق توموگرافی کامپیوتری باید ساختمان اصلی ناحیه مورد نظر را شناخت. شکل، اندازه و محل آنرا مشخص کرد و بعد تغییراتی را که در تراکم (دانسیته) ممکن است بوجود آمده باشد بررسی نمود. معمولاً یک ضایعه فضاگیر تغییر محل یا تغییر شکل در سیستم بطن‌های مغز میدهد که در تشخیص نوع ضایعه مورد استفاده قرار میگیرد.



شکل ۱۰- طرح مقطعی که از سر بیمار در طی اسکن مغز گرفته میشود.

برای ضایعات مخچه یا حفره خلفی مغز از مقطعی که ۳ یا ۳/۵ سانتیمتر بالای خط بازال میباشد و یک زاویه ۱۵ یا ۲۰ درجه نسبت به خط مزبور دارند استفاده می‌گردد (سر بیمار به جلو خم میشود) (شکل ۱۰).

برای ضایعات چشم (Orbit) دواکسن بعرض ۸ میلیمتر تا ۱/۵ سانتیمتر بالای خط بازال گرفته میشود. در این مورد سر بیمار ۱۰ تا ۱۵ درجه بطرف عقب خم میشود (۳).

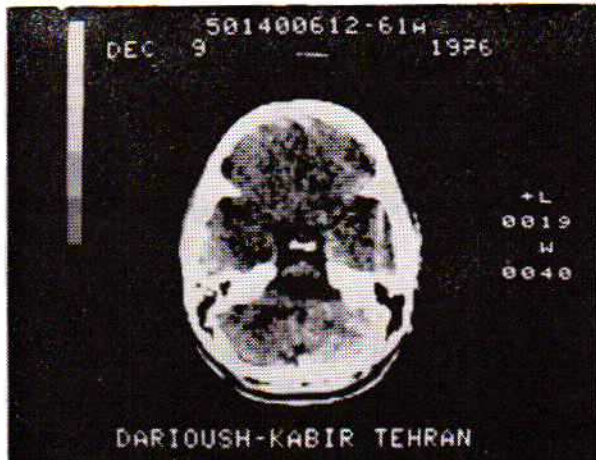
مقطعی که بترتیب از قاعده به سقف جمجمه گرفته میشود:

مقطع اول {	1A	مقطع دوم {	2A
	1B		2B
مقطع سوم {	3A	مقطع چهارم {	4A
	3B		4B

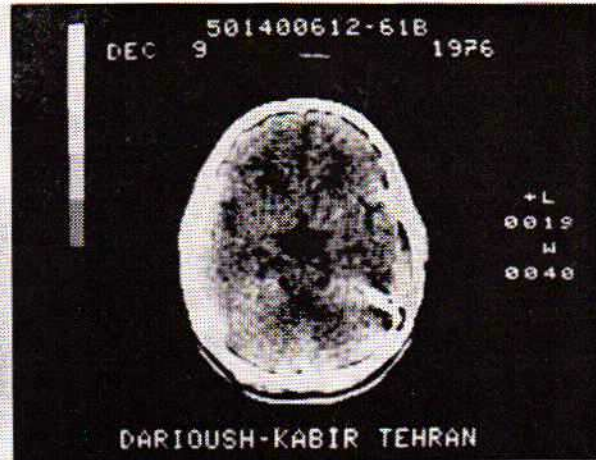
نامگذاری شده‌اند.

#### تشریح طبیعی مغز بوسیله توموگرافی کامپیوتری :

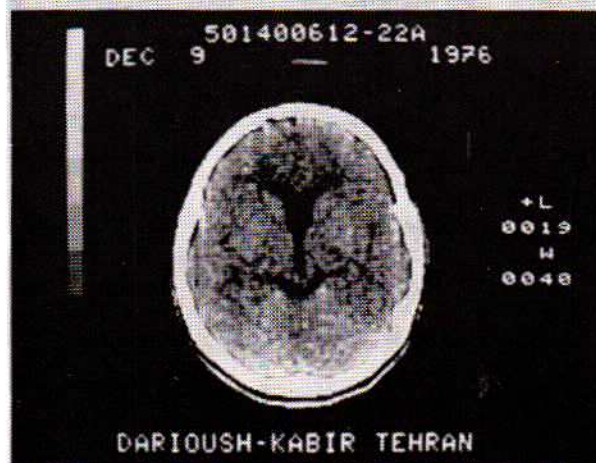
بعلمت اینکه اندازه و شکل جمجمه در اشخاص مختلف متفاوت میباشد در اینجا بشرح روابط تشریحی و شکل ساختمان‌های مختلف مغز که در یک سری اسکن مناسب دیده میشود، می‌پردازیم (۷). مقطع اول ۱A و ۱B نامیده میشود: در مقطع ۱A بترتیب از جلو لوب فروتال مغز سیستم کیاسماتیک که زوائد صریری قدامی و خلفی و توپیر کولوم سلا اغلب در آن خود نمائی میکنند، دیده میشود. در قسمت خلفی سیستم سر بلو پوتین، بطن چهارم و سیستم ماگنا را می‌بینیم (شکل ۱۱ ۱A). در مقطع ۱B لوب



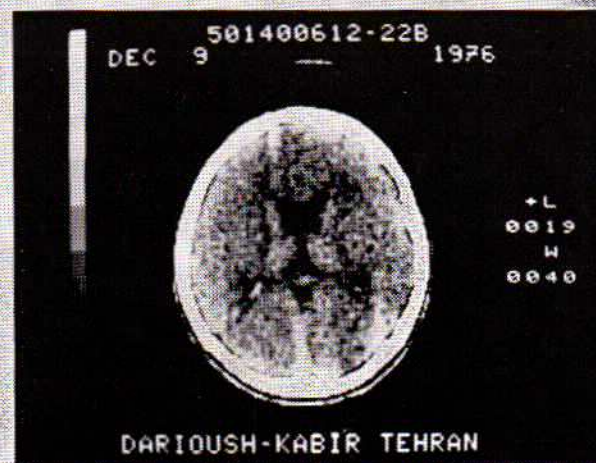
1A



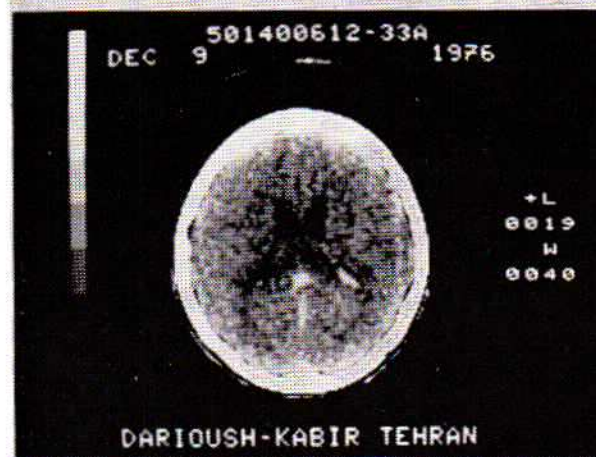
1B



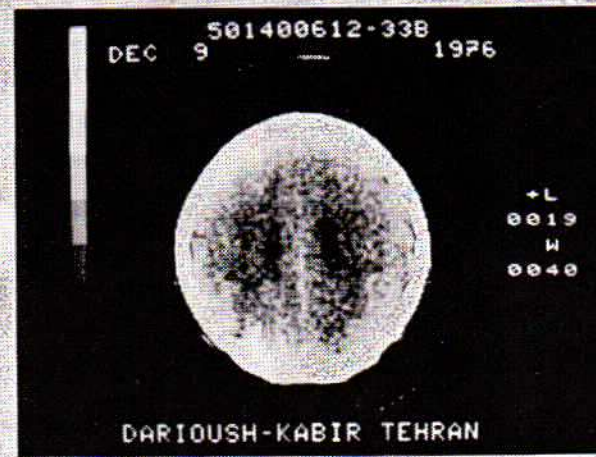
2A



2B



3A

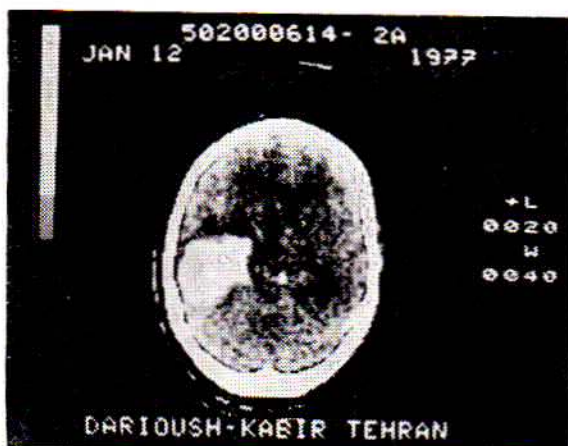


3B

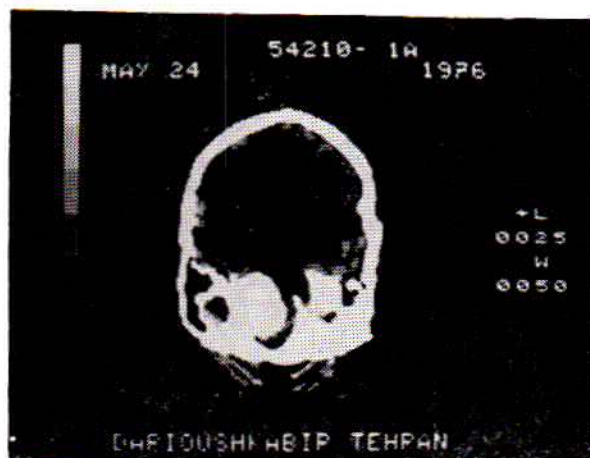
شکل ۱۱- مقاطع اسکن در یک سری اسکن طبیعی.

۲- ضایعاتی که تراکم نسبی آنها از بافت طبیعی مغز کمتر است.  
 ۳- ضایعاتی که تراکم نسبی برابر با بافت طبیعی مغز دارند.  
 در گروه اول وجود بلورهای کلسیم در ایجاد تراکم بالاتر از

تغییرات غیر طبیعی بافت مغز را بر حسب اختلاف تراکم ضایعه نسبت به مغز سالم، سه گروه میتوان تقسیم کرد (۲).  
 ۱- ضایعاتی که تراکم نسبی آنها از بافت طبیعی مغز بالاتر است.



شکل ۱۳- خونریزی تازه داخل بافت مغز در نیمکره چپ.

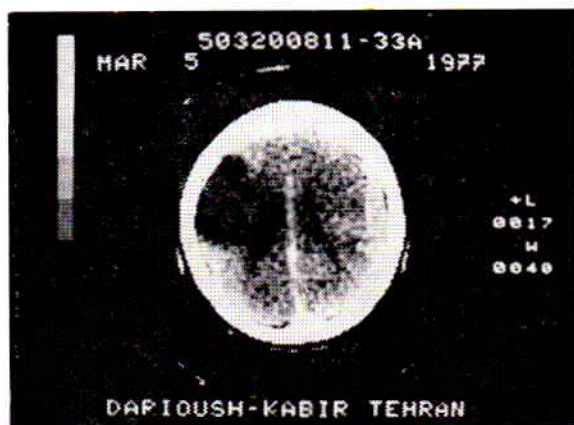


شکل ۱۴- تصویر یک منتریوم در طرف چپ حفره خلفی مغز در ناحیه مخچه دیده میشود. تراکم آن شدیداً بالاتر از مغز است که بعلت کلسیفیکاسیون میباشد.

هما تومهای درون جمجمه‌ای مزمن بعلت آبکی بودن و تراکم کم مشخص میگردد. مثلاً هاتوم سودورال مزمن بصورت یک ناحیه هلالی شکل تیره روی بافت خاکستری قشر مغز و زیر جمجمه مشخص میشود (۱۰).

گروه سوم: در این گروه ضایعاتی قرار گرفته‌اند که تراکم نسبی آنها برابر بافت طبیعی مغز می‌باشد و نتیجتاً تشخیص آنها مشکل می‌شود. اگر این ضایعات فضاگیر و بزرگ باشند بعلت تغییر محل بطنها بوجود آنها میتوان پی برد، ولی شکل و اندازه و محل دقیق آنها در اسکن معمولی نمیتوان مشخص نمود. در مورد ضایعات کوچک‌تر که در محیط مغز قرار گرفته باشند، ممکن است تغییری در بطنها بوجود نیاورند و در نتیجه شناخته نشوند.

این گونه ضایعات را بعلت اینکه سبب بهم خوردن Blood Brain Barrier (B.B.B.) میگرددن با تزریق ماده حاجب داخل ورید (Contrast Enhancement) میتوان مشخص کرد (۲ و ۷).



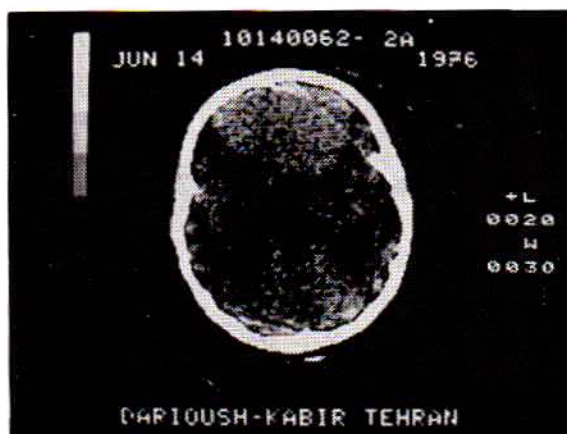
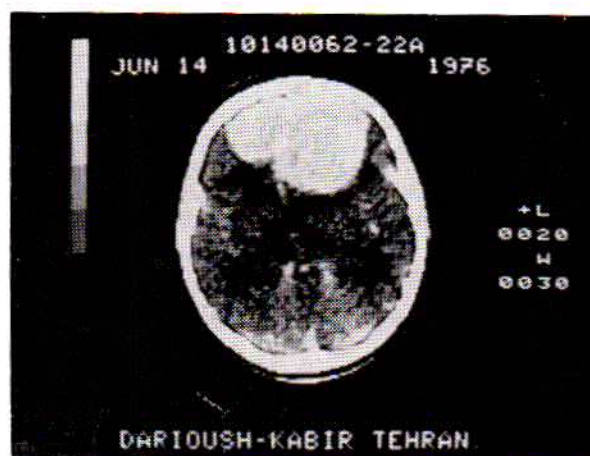
شکل ۱۴- آثار کتوس قدیمی (حدود ۲ ماه) بافت مغز در نیمکره چپ.

طبیعی مؤثر میباشد. منتریوم، استروسیتومهای با درجه بدخیمی کم، الیگودندروگلیوم و اپاندیموم ضایعات نئوپلازیک هستند که ممکن است در این نوع اسکن بصورت نواحی سفید نشان داده شوند. در آنژیوم، انورسمهای بزرگ، کرانیوفارنژیوم و ضایعات عفونی کلسیفیکاسیون ممکن است با اندازه‌ای باشد که تراکم این نوع ضایعات را بیشتر از تراکم مغز طبیعی کند و در نتیجه این ضایعات در اسکن کاملاً مشخص گردند (شکل ۱۲).

خونریزی‌های حاد درون جمجمه (اتراسربرال، اترواتریکولر سودورال و اکسترا دورال) بعلت انعقاد خون و جذب سرم با تراکم بیشتر از مغز مشخص میگرددند. هموگلوبین و یونهای کلسیم نقش مهمی را در این ازدیاد تراکم ایفاء مینمایند. (۳ و ۴) (شکل ۱۳).

از نمونه ضایعات گروه دوم: انفارکتوسهای مغز (۴) نکرده‌های شدید در تومورهای بدخیم که منجر به تشکیل کیست‌های بزرگ و کوچک میشوند، ضایعات استحاله‌ای «دژنراتیو» و تجمع مایع و خیسز میباشدند که در اسکن بصورت نواحی تیره‌تر نمایان میگرددند (شکل ۱۴). علاوه بر تغییر تراکم در این گروه محل ضایعه، تغییر محل غده پی‌ثال و تغییراتی که در جدار بطنها پیدا میشود، کمک به تعیین نوع ضایعه مینماید.

البته تشخیص بعضی از تومورها بعلت محل نسبتاً ثابت (کرانیو-فارنژیوم کیستیک) و یا ویژگیهای ساختمانی مثلاً وجود چربی در تومور که تراکم آن خیلی کمتر از تراکم مغز و حتی مایع نخاع است، (اپی‌درموئید و کلستاتوم) با سهولت بیشتری انجام میگردد (۱۱).



شکل ۱۵- الف: آستروسیتوم ناحیه فرونتال در اسکن کامپیوتری بدون ماده حاجب. ب: بعد از تزریق ماده حاجب داخل ورید ، تومور بعث فراوانی رگها شدیداً ماده حاجب را در خود نگه میدارد ( Contrast enhancement).

ضایعات مهاجم ، وسعت پراکندگی تومور را به سینوسهای پاراناژال و یا بدرون حفره جمجمه بخوبی می توان نمایان ساخت .

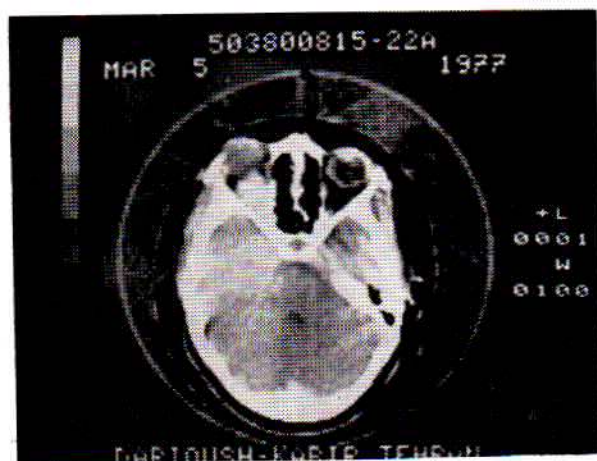
**خلاصه :**

در این مقاله تکنیک توموگرافی کامپیوتری که يك روش جدید پرتونگاری میباشد شرح داده شده است . در این روش اشعه ایکس از مغز بیمار عبور میکند و عکسهائی از زوایای مختلف میگیرد. سپس ارزشهای جذبی بافت و سایر موادی که در داخل سر بیمار قرار دارد ، بوسیله کامپیوتر تجزیه و تحلیل و بصورت عکسهائی از نقاط مختلف سر بیمار نشان داده میشود. این روش تقریباً ۱۰۰ مرتبه حساس تر از روش پرتونگاری معمول میباشد، بطوریکه تغییرات بافت نرم با تراکم شبیه بهم را نشان میدهد . بطور قطع این روش انقلابی در مورد روشهای تشخیصی متداول بیماران مبتلا به ضایعات مغز و چشم بوجود آورده است .

وجود ( B.B.B ) سالم مانع دخول مواد با اتمهای سنگین بداخل بافت مغز میگردد . در عوارض مغز که باعث خراب شدن این سد میگردد ، بطور مصنوعی میتوان مواد حاجب با اتمهای سنگین را بدرون بافت مغز داخل کرد و تراکم بافت را نسبت به مغز بالا برد . در عمل از تزریق داخل وریدی مواد حاجب نظیر اورو-گرافین بطریقی که در اوروگرافی معمول است ، استفاده میشود. این ماده مستقلاً و یا همراه با پروتئین های خون از طریق انتشار پاسیویا انتقال اکتیو و یا (پیئوسیتوز) از B.B.B عبور کرده و پشت غشاء بازال رگها رسوب مینماید. معمولاً پنج دقیقه بعد از تزریق داخل وریدی میتوان با اسکن مجدد وجود ضایعه را مشخص کرد که ممکن است تا چندین ساعت بهمان حال باقی بماند . (شکل ۱۵).

معمولاً تومورهائی که دارای رگهای فراوان هستند ، مانند مننژیومها ، بدین نحو بهتر نمایان میگرددند . در حال حاضر در بیشتر مراکز بطور معمول بیمار را یکبار قبل از تزریق و یکبار بعد از تزریق ماده حاجب مورد اسکن قرار می دهند . علاوه بر بیماریهای ذکر شده در گروه های سه گانه فوق ، توموگرافی کامپیوتری مغز در تشخیص و پی گیری ضایعاتی مانند هیدروسفالی و آتروفی مغز (۵) و سایر ضایعات استحالهای «دژنراتیو» دارای ارزش فوق العاده میباشد .

توموگرافی کامپیوتری از کاسه چشم کمک شایانی در تشخیص و تعیین محل ضایعات فضاگیر داخل کاسه چشم نیز کرده است (۶ و ۳) . بعثت اختلاف تراکم زیاد بین چربی پشت کره چشم و عصب بینائی، این عصب را بخوبی میتوان دید و با تعیین محل ضایعه نسبت به کره چشم و عصب بینائی کمک زیادی به روش جراحی از طریق کرایوتومی و یا باز کردن جدار خارجی کاسه چشم نمود (شکل ۱۶) . در مورد



شکل ۱۶- تومور پشت کره چشم در طرف چپ (گلیوم عصب بینائی).

سرعت ودقت تشخیصی آن فوق العاده میباشد و درعین حال عاری از عوارض ومخاطرات برای بیمار است .  
 بادر نظر گرفتن این که اطلاعات کسب شده با این روش در اکثر موارد از اطلاعاتی که از مجموع یا هر یک از روشهای تشخیصی دیگر از قبیل آنژیوگرافی، پنومو آنسفالوگرافی و سنتی گرافی بدست می آید ، بیشتر است و به این نتیجه می رسیم که از نظر اقتصادی هم مقرون به صرفه می باشد.

## REFERENCES :

- 1- Ambrose, J. Computerized Transverse Axial scanning (tomography) Part 2 clinical application. *British Journal of Radiology* 46; 1023\_1047. 1973.
- 2- Ambrose, J. Computerized X-Ray scanning of the Brain. *Journal of Neurosurgery* 40; 679\_695. 1974.
- 3- Ambrose, J. Lloyd, G .S. and Wright, J. A. preliminary evaluation of fine matrix computerized axial Tomography (E.M.I.Scan) in the diagnosis of orbital space occupying lesions. *British Journal of Radiology* 47: 747-751. 1974.
- 4- Davis, K. R., Taveras, J.M., New, P.F., et al: Cerebral infarction diagnosis by computerized tomography. *Am. J. Roentgenology* 124; 643\_660. 1975.
- 5- Fox, J.H., Topel, J.L., and Huckman, M.S.: Use of computerized tomography in senile dementia. *Journal of Neurology, Neurosurgery and psychiatry* 38; 948\_953. 1975.
- 6- Gawler, J., Sanders, M. D. Bull, J.W.D. Du Boulay. G. and Marshal. J.: Computer assisted tomography in orbital Disease. *British Journal of ophthalmology* 58; 571\_587. 1974.
- 7- Gawler, J., Bull, J.W.D., Du Boulay G.H. and Marshal, J., Computerized axial tomography. The normal E.M.I scan *Journal of Neurology, Neurosurgery and Psychiatry* 38; 935-947. 1975.
- 8- Hounsfield, G.N., Computerized Transverse axial Scanning (Tomography) Part 1. Description of the system. *British Journal of Radiology* 46 : 1016\_1022. 1973.
- 9- Kreel, L., The EMI whole body scanner, *British Journal of Clinical equipment* July 1976.
- 10- New, P.F., Scott, W.R., et al: Computerized axial Tomography with the EMI Scanner. *Radiology* 110: 109\_123. 1974.
- 11- New, P.F., Scott, W.R., et al: Computed tomography with the EMI Scanner in the diagnosis of primary and metastatic intracranial neoplasms *Radiology* 114; 75\_87. 1975.
- 12- Paxton, R. and Ambrose, J., The EMI Scanner, A brief Review of the first 650 patients. *British Journal of Radiology* 47: 530\_565. 1974.
- 13- Stephens, D H., Hattery, R.R., Sheedy, P.F., Computed Tomography of the abdomen. *Radiology* 119: 331\_335. 1976.
- 14- Sagel, S., Stanley, R.J., and Evens, R.G., Early Clinical experience with Motionless whole body computed Tomography. *Radiology* 119, 321\_330. 1976.
- 15- Wortzman, G., Holgate, R.C., and Morgan, P.P., Cranial Computed tomography. An Evaluation of cost effectiveness. *Radiology* 117: 75\_77. 1975.